

p形 GaP 半導體 界面의 光效果

(Photoeffects at p-GaP Semiconductor Interfaces)

千 長 鎬*

(Jang Ho Chun)

要 約

電流-電壓 特性으로 p形 GaP 半導體와 CsNO₃ 電解質 界面의 光效果를 研究 調查하였다. 半導體-電解質 界面의 光效果와 그에 따른 光電流變化는 Ar 이온 레이저와 連續循環電壓方法으로 確認하였다. 界面에서의 電荷移動 메카니즘은 p形 GaP 半導體 電極表面의 光分解 또는 물의 光電解 보다는 Cs⁺ 이온의 吸着 정도와 그에 따른 電位障壁變化와 空乏層內의 光生性에 의하여 잘 特徵지어졌다. 界面의 Cs⁺ 이온 吸着은 物理的 吸着이다.

Abstract

Photoeffects at the p-GaP semiconductor/CsNO₃ electrolyte interfaces were investigated in terms of their current-voltage characteristics. The photoeffects at the semiconductor-electrolyte interfaces and their photocurrent variations are verified using Ar ion laser and continuous cyclic voltammetric methods. The mechanism of charge transfer at the interface is well characterized by Cs⁺ ion coverage and its potential barrier and the photogeneration in the depletion layer rather than the photodecomposition of the p-GaP semiconductor electrode surface and/or the water photoelectrolysis. The adsorption of Cs⁺ ions at the interface is physical adsorption.

I. 序 論

半導體 抵抗性 (ohmic) 接觸, 半導體 表面에서의 電子 放出 등에 관한 界面現象은 大部分의 半導體 素子에서 必須的으로 해결해야 할 問題중의 하나이다. 이러한 半導體-金屬, 半導體-半導體, 半導體-眞空 界面에 관한 電氣 物理的 現象은 새로운 電子素子인 分子電子素子 (molecular electronic device), 液晶表示機 (liquid crystal display), 極小電氣泳動表示機 (microelectrophoresis display) 등의 研究開發과 함께

半導體 (固體) - 電解質 (液體) 界面 現象 解析에도 適用되고 있다.¹⁻³⁾ 특히, Fujishima와 Honda에 의하여 半導體-電解質 界面에서도 光에너지가 化學的 에너지로 變換될 수 있음이 實驗的으로 提示된 以後, 半導體-電解質 界面에서의 光效果에 관한 研究는 半導體 光電氣化學의 主要 研究課題가 되어왔다. 眞空 狀態下에서, 넓은 에너지 밴드갭을 갖는 p形 III-V 族 化合物 半導體 表面에 Cs 原子가 吸着되면 그 吸着 정도에 따라 일函數와 光電子 放出이 變함도 實驗的으로 提示되었다.^{4,5)} 또한 半導體-眞空 界面에서는 빛의 照射에 의하여 吸着되었던 原子가 그 表面으로부터 떨어져 나가는 光脫離 (photodesorption) 現象도 研究報告 되었다.⁷⁻⁹⁾ 그러나 이러한 一連의 界

*正會員, 光云大學校 電子工學科
(Dept. of Elec. Eng., Kwangwoon Univ.)
接受日字: 1989年 6月 8日

面現象은 半導體-電解質 界面에서도 있을 수 있음에 불구하고 이에 관한 研究報告는 거의 없었다.¹⁾ 따라서 本 論文에서는 넓은 에너지 밴드갭을 갖는 III-V 族 化合物 半導體인 p형 GaP 半導體와 CsNO₃ 水性電解質 界面에서의 光效果, 즉 吸着 또는 分離되는 Cs⁺ 이온에 의한 光電流變化, Cs⁺ 이온의 半導體 表面의 吸着性, 暗電流(dark current)와의 關係 등을 連續循環電壓方法과 EDX(energy dispersive X-ray) 分析으로 定性的解析을 하였다.

II. 光效果

p형 GaP 半導體와 CsNO₃ 水性 電解質 界面의 光效果를 제외한 一般的인 電氣 物理化學的 現象, 즉 整流特性, Cs⁺ 이온의 吸着과 蓄積에 따른 電氣二重層 構造의 變化, 映像電荷效果에 의한 電位障壁 變化와 그에 따른 暗電流(dark current) 變化現象 등은 參考文獻에¹⁰⁾ 상세히 叙述되었다.

1. 光生成(photogeneration)

p형 GaP 半導體와 CsNO₃ 水性 電解質 界面에서 에너지 밴드갭(常溫에서 間接에너지 밴드갭: 2.20eV) 보다 큰 빛에너지를 吸收하게 되면 逆마이어스時半 導體 內的 空乏層에서 光生成된 超過搬送子인 電子-正孔 雙에 의한 光電流가 흐르게 되므로 p형 GaP 半導體와 CsNO₃ 電解質 界面의 電流-電壓 特性에서 나타나는 整流特性은¹⁰⁾ 기대할 수 없으며 界面에서는 光生成된 電子-正孔 雙에 의한 光分解(photo-decomposition), 光電解(photoelectrolysis), 光分離(photodesorption) 現象이 同時에 發生하게 된다. 光分解, 光電解 및 光分離 現象을 考慮치 않을때, 同一條件下에서 光生成에 의한 光電流는 入射光 에너지의 크기, 즉 入射光의 周波數 또는 波長에 따른 吸收係數에 의하여 다음과 같이 주어진다.¹¹⁾

$$I_p = -qw \left[1 - \exp \left(\frac{-\alpha L_0}{1 + \alpha L_e} \right) \right] \quad (1)$$

$$\alpha = \frac{4\pi k f}{c} \quad (2)$$

$$L_0 = \left(\frac{\epsilon k T}{2N_A q^2} \right)^{1/2} \quad (3)$$

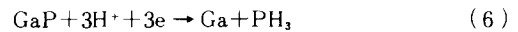
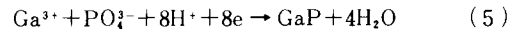
$$L_e = (D_e \tau_e)^{1/2} \quad (4)$$

여기서 q는 電子電荷量의 絕對值, w는 半導體 表面에 入射되는 光束(light flux)의 세기, α는 吸收 또는 減殺係數(absorption or attenuation coefficient), k는 吸光係數(extinction coefficient),¹²⁾ f는 周波數,

c는 眞空中에서 光速, L₀는 Debye 길이, ε는 半導體의 誘電常數, k는 Boltzmann 常數, T는 絕對溫度, N_a는 억셉터 不純物 濃度, L_e는 少數搬送子인 電子의 擴散길이, D_e는 電子의 擴散係數, τ_e는 少數搬送子인 電子의 壽命을 各各 나타낸다.

2. 光分解(photo-decomposition)

상당수의 半導體는 水性(aqueous) 電解質의 경우, 물에 의한 半導體 表面分解가 있게 되며 GaP 半導體의 경우 分解反應은 다음과 같다.¹³⁾



光生成에 의한 電子-正孔 濃度 增加는 光電流 增加에 寄與하므로 보다 效果的인 半導體 表面 分解作用이 있게 된다. 따라서 光分解過程은 半導體 表面에서 電子-正孔 雙 生成源(generation source)과 같은 역할을 하게 된다.

3. 光電解(photoelectrolysis)

p-Gap 半導體를 陰極, 白金電極을 陽極으로 하여 빛을 p-GaP 半導體 電極에 照射하면 水性 電解質의 경우, 물은 光生成된 超過搬送子인 電子-正孔 雙에 의한 光電氣分解(光電解) 現象으로 酸素와 水素의 發生이 있게되며 觸媒劑와 같은 역할로 光電流에 寄與하게 된다.^{14, 15)}



여기서 h는 正孔, e는 電子를 나타낸다.

4. 光分離(photodesorption)

半導體와 眞空 界面에서 半導體 表面에 吸着된 원자 또는 이온이 빛의 照射에 의하여 表面吸着으로부터 分離되는 現象으로^{12, 13)} 半導體와 電解質 界面에서의 光分離 現象은 거의 研究 報告 되지 않고 있으나⁹⁾ 界面에서 吸着 및 分離되는 이온, 分子, 콜로이드 등은 觸媒劑와 같이 電流增現現象에 寄與할 수 있음은 定性的으로 研究 報告 되고 있다.^{16, 17)}

III. 實驗 및 結果考察

1. 半導體 光電極 및 電解質 準備

p형 III-V 族 化合物 半導體 光電極으로는 억셉터 不純物(亞鉛: $2.5 \times 10^{16}/\text{cm}^3$)로 도핑된 GaP 半導體 單結晶(111)을 사용하였다. p형 GaP 半導體 光電極과 CsNO₃ 水性 電解質은 같은 條件下에서 暗電流에 대한 光電流의 特性을 比較分析하기 위하여 參考文

獻¹⁰⁾을 따라 製作 및 準備하였다.

2. 實驗 方法

모든 實驗은 同一條件下에서 그림 1과 같은 標準 三電極 配置構造를 따랐다. 즉, p형 GaP 半導體를 일電極 (Working Electrode: WE), SCE (saturated calomel electrode)를 基準電極 (Reference Electrode : RE), 白金을 相對電極 (Counter Electrode : CE) 으로 各各 使用하여 短絡回路 (short circuit)를 構成 하였다. 電極의 連續循環電位는 미국 PINE 社의 RDE4 連續 선형 電位計를, 連續循環 電流-電壓 特性은 미국 Houston 社의 Omnigraphic 2000 X-Y 記錄計를 各各 使用하였다. 連續 循環 電流-電壓 特性을 얻기위한 一般의인 스캔 (scan) 率과 電位範圍는 各各 100mV/s와 $-0.8 \sim +0.8V$ (V vs. SCE) 이었다. 光源으로는 周波數 튜닝 (488-454nm)이 가능한 미국 Coherent 社의 Innova 70 Ar 이온 레이저를 使用했으며 빛의 세기는 Pyrex 光電解槽 위치에서 媒質의 吸收 및 反射에 따른 修訂이 미국 Newport 사의 NRC Model 815 power미터로 測定하였다. p형 GaP 半導體 表面의 Cs⁺ 이온의 吸着性은 미국 Princeton Gamma Technology 社의 PGT System III에 의한 EDX (energy dispersive X-ray) 스펙트럼 分析으로 定性的 解析을 하였다.

3. 結果 및 考察

p형 GaP 半導體와 CsNO₃ 水性 電解質 界面에 488nm (光子에너지 : 2.54eV)의 Ar 이온 레이저 光을 照射시키면 다음과 같은 電氣物理 및 電氣化學의인 作用이 同時에 進行됨을 推定할 수 있다. 즉, 半導體 內의 空乏層에서 電子-正孔 光生成, Cs⁺ 이온의 半導體 表面 吸着 또는 分離에 따른 電位障壁의 變化, 半導體 電極 表面의 光分解, 물의 光電解 現象 등에 의한 光電流 變化 現象이 있게된다. p형 GaP 半導體와 電解質界面의 典型的인 循環 光電流-電壓 特性은 그림 2에 잘 나타나 있으며 逆 바이어스 (bias) 時 空乏層內에서 光生成된 超過 搬送者에 의하여 循環暗電流-電壓 特性¹⁰⁾과는 달리 整流特性은 나타나 지 않는다. 그림 3은 p형 GaP 半導體와 蒸溜水 (比傳導度 : 1.25×10^{-6} mho/cm²) 界面에서 時間에 따른 連續循環 暗電流와 光電流의 變化를 보여준다. 半導體 表面의 光分解와 물의 光電解에 의하여 暗電流와는 달리 光電流는 계속하여 增加한다. 電氣物理學的 觀點에서 볼때, p형 GaP 半導體 界面에서 光分解와 光電解는 電子-正孔 雙生成과 類似하다. 그림 4는 물은 濃度 (10⁻⁶ M)의 CsNO₃ 電解質界面에서 連續循環 暗電流와 光電流의 變化를 보여준다. 그림 3과 4의

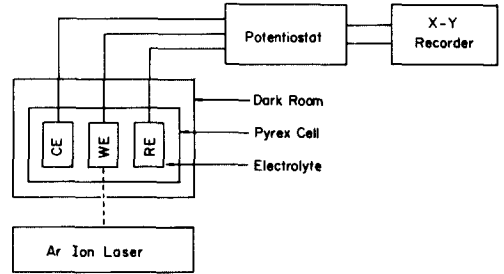


그림 1. 概略的인 光電解槽 配置 및 實驗裝置 配置圖 (CE : 相對電極, WE : 일電極, RE : 基準電極)

Fig. 1. Schematic configuration of the photoelectrochemical cell and experimental equipments (CE : counter electrode, WE : working electrode, RE : reference electrode.)

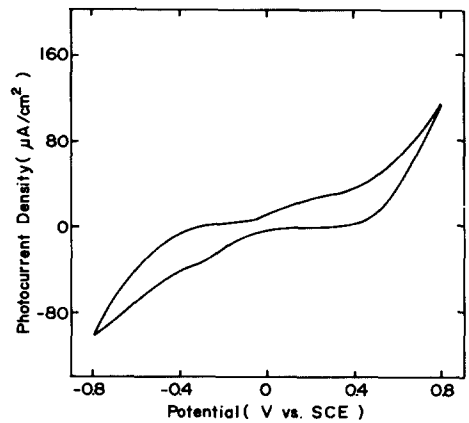


그림 2. p형 GaP 半導體와 10⁻⁶M CsNO₃ 電解質 界面에서 典型的인 光電流 循環電壓圖 (레이저 세기 : 18mW/cm², 스캔電壓 : $-0.8 \sim +0.8 V$ vs. SCE, 스캔率 : 100mV/s)

Fig. 2. Cyclic voltammogram of a typical photocurrent at the p-GaP semiconductor/10⁻⁶ M CsNO₃ electrolyte interface (laser intensity : 18mW/cm², scan potential: $-0.8 \sim +0.8V$ vs. SCE, scan rate : 100mV/s)

實驗結果를 比較하면 半導體 表面에서 Cs⁺ 이온의 吸着과 光分離가 일어나고 있음을 推定할 수 있다. 즉, 表面 (또는 界面)에서 Cs⁺ 이온의 吸着과 光分離에 따른 最適狀態의 映象電荷效果와 最底狀態의 電位障壁

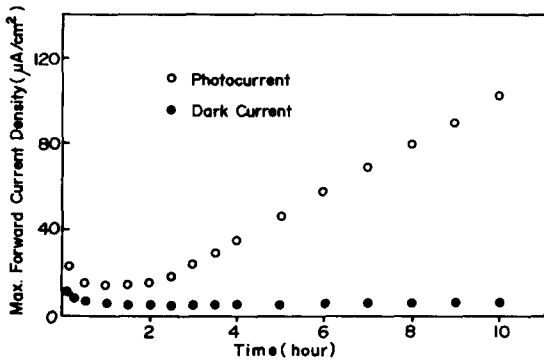


그림 3. p형 GaP 반도체와 증류수 界面에서 最大 順方向 電流變化(레이저 세기: 18mW/cm² 증류수 比傳導度: 1.25×10⁻⁶mho/cm³, 스캔電壓: -0.8~+0.8V vs. SCE, 스캔率: 100mV/s)

Fig. 3. Change of maximum forward currents at the p-GaP semiconductor/distilled water interface (laser intensity: 18mW/cm², specific conductivity of distilled water: 1.25 × 10⁻⁶mho/cm³, scan potential: -0.8 ~ + 0.8V vs. SCE, scan rate: 100mV/s).

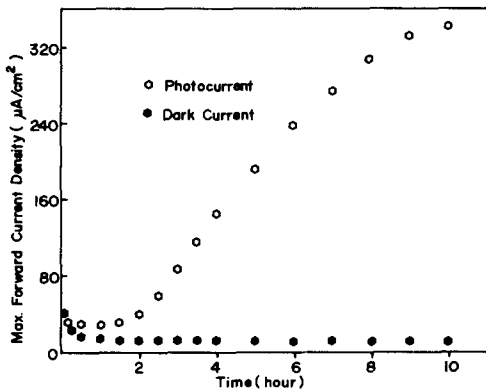


그림 4. p형 GaP 반도체와 10⁻⁵M CsNO₃ 電解質 界面에서 最大 順方向 電流變化(레이저세기: 18mW/cm², 스캔電壓: -0.8~+0.8V vs. SCE, 스캔率: 100mV/s)

Fig. 4. Change of maximum forward currents at the p-GaP semiconductor/10⁻⁵M CsNO₃ electrolyte interface (laser intensity: 18mW/cm², scan potential: -0.8 ~ + 0.8V vs. SCE, scan rate: 100mV/s).

維持로 光電流은 蒸溜水의 境遇보다 매우 큰 增加率을 갖게 된다. 反面에 진한 濃度(10⁻¹M)의 CsNO₃ 電解質 境遇, 表面(또는 界面)에서 吸着 및 蓄積되는 Cs⁺이온량이 매우 크므로(즉, 電氣二重層이 密하여 지므로) 映像電荷效果에 의한 電位障壁 增加率은 光分解率과 光電解率보다 더 크므로 暗電流은 물론 光電流도 그림 5와 같이 急激하게 減少한다. 界面에서 높은 濃度의 Cs⁺이온 分布는 電荷移動에 대한 電位障壁 역할뿐만 아니라 半導體 表面의 光分解를 막는 保護膜 역할까지 한다고 解析된다. 끝으로 中間濃度(10⁻³M)의 CsNO₃電解質 境遇, 時間에 따른 電位障壁 增加率은 光分解率보다 약간 크므로 連續 循環光電流은 그림 6과 같이 緩慢하게 減少함을 定性的으로 解析할 수 있다. 그림 3, 4, 5, 6이 보여주는 順 바 이어스時 測定된 連續循環 最大順方向 暗電流과 光電流를 比較하면 常溫에서 界面의 電氣二重層內에 吸着 또는 蓄積되는 Cs⁺이온에 의한 電位障壁 飽和現象은 2時間 안팎이며 Cs⁺이온 濃度, 即 界面(電氣二重層)에 吸着 또는 分離되는 Cs⁺이온量에 따른 界面 電位障壁 效果에 影響을 받음을 알 수 있다. 表 1은 같은 條件下에서 Ar이온 레이저 光周波數 變化에 따른 光패러미터의 變化를 식 (1)-(4)와 既存보고된 전자확산 계수(De), 電子壽命(τ_e), 吸光係數(k) 測定值를 이용하여¹¹⁾ 계산 비교 했으며, 그림 7은 本實驗

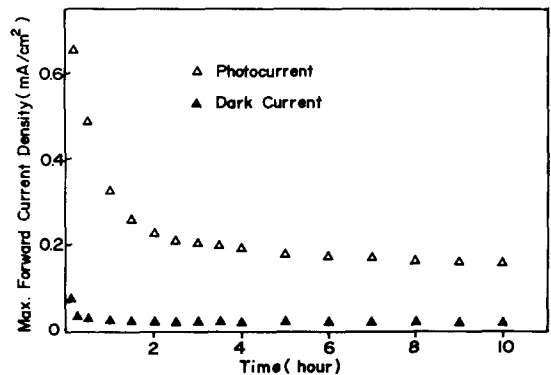


그림 5. p형 GaP 반도체와 10⁻¹M CsNO₃ 電解質 界面에서 最大 順方向 電流變化(레이저세기: 18mW/cm², 스캔電壓: -0.8~+0.8V vs. SCE, 스캔率: 100mV/s)

Fig. 5. Change of maximum forward currents at the p-GaP semiconductor/10⁻¹M CsNO₃ electrolyte interface (laser intensity: 18 mW/cm² scan potential: -0.8 ~ + 0.8V vs. SCE, scan rate: 100mV/s)

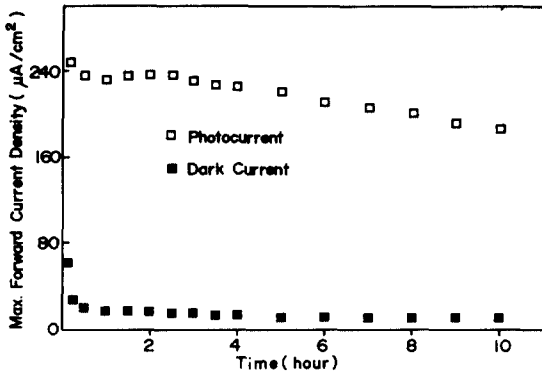


그림 6. p형 GaP 半導體와 10⁻³M CsNO₃ 電解質 界面에서 最大 順方向電流 變化 (레이저 세기: 18mW/cm², 스캔電壓: -0.8~+0.8V vs. SCE, 스캔率: 100mV/s)

Fig. 6. Change of maximum forward currents at the p-GaP semiconductor/10⁻³M CsNO₃ electrolyte interface (laser intensity: 18mW/cm², scan potential: -0.8~+0.8V vs. SCE, scan rate: 100mV/s).

표 1. 常溫에서 p형 GaP 半導體 電極의 計算된 光 패라미터

Table. 1. The calculated optical parameters of the p-GaP semiconductor electrode at room temperature.

波長	488[nm]	454[nm]
光패라미터		
Debye 길이 (L _D)	1.69 × 10 ⁻⁸ [m]	1.69 × 10 ⁻⁸ [m]
電子의擴散길이(L _e)	1.76 × 10 ⁻⁷ [m]	1.76 × 10 ⁻⁷ [m]
吸收係數 (α)	8.78 × 10 ⁴ [m ⁻¹]	6.53 × 10 ⁵ [m ⁻¹]
吸收길이 (1/α)	1.14 × 10 ⁻⁵ [m]	1.53 × 10 ⁻⁶ [m]
光電流 (I _p)	I _p	6.67I _p
光에너지 (E _p)	2.54[eV]	2.73[eV]

에서 Ar laser 周波數 變化에 따라 실제로 測定된 光電流의 크기는 光分解 및 光電解 보다는 空乏層內에서 生成된 超過 搬送子(電子-正孔)에 의한 光生成에 의하여 決定됨을 推定할 수 있다. 그림 8(a)는 10⁻³M CsNO₃ 電解質內에서 10시간 連續循環 暗電流-電壓 特性을 測定한 後의 p형 GaP 半導體 表面의 EDX 스펙트럼이며, 그림 8(b)는 8(a)의 電極을 蒸溜水에 5-10秒間 넣었다가 꺼낸 後의 EDX 스펙트

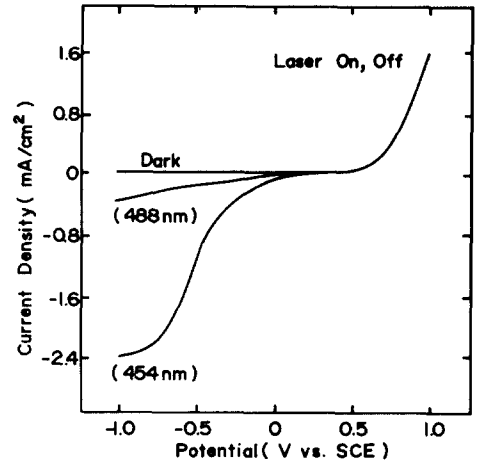


그림 7. 光周波數(波長)에 따른 光電流 變化 比較 (레이저 세기: 30mW/cm², CsNO₃ 電解質 濃度: 10⁻³M, 스캔電壓: -1.0~+1.0V vs. SCE, 스캔率: 100mV/s)

Fig. 7. Comparison of photocurrent variations for different frequency(wavelength) of light (laser intensity: 30mW/cm², concentration of the CsNO₃ electrolyte: 10⁻³M, scan potential: -1.0~+1.0V vs. SCE, scan rate: 100mV/s).

럼이다. 換言하면 가장 간단한 方法으로서 界面에 吸着 및 蓄積되는 Cs⁺이온은 物理的 吸着임을 알 수 있다.

IV. 結 論

半導體-半導體 pn 接合 다이오드 模型과 半導體-眞空 界面에서 映像電荷效果에 의한 電位障壁 模型은 p형 GaP 半導體와 CsNO₃ 水性 電解質 界面의 連續循環 暗電流 및 光電流-電壓 特性 解析에 定性的으로 잘 適用된다. 界面의 電荷移動 現象은 半導體 電極表面의 光分解와 물의 光電解 보다는 光生成과 電氣二重層內에 吸着 및 蓄積되어지는 Cs⁺ 이온에 의한 電位障壁 變化에 의하여 特徵 지어진다. 界面에서 Cs⁺이온 吸着은 物理的 吸着이다. 半導體-眞空 界面의 光分離現象은 p형 GaP 半導體와 CsNO₃ 電解質 界面에 吸着된 Cs⁺이온에서도 發生되며 表面의 光分解 現象 및 物理的 吸着과 相關된다고 推定된다. 같은 條件下에서 光生成된 超過搬送子에 의한 光電流 增倍現象은 吸收係數의 影響을 가장 크게 받으며 光電流의 크기는 光分解 또는 光電解 보다는 光生成에 의하여 決定된다. 定量的인 解析과 比較는 半導體 表面處理에 따라 큰 影響을 받는 表面준위,

參 考 文 獻

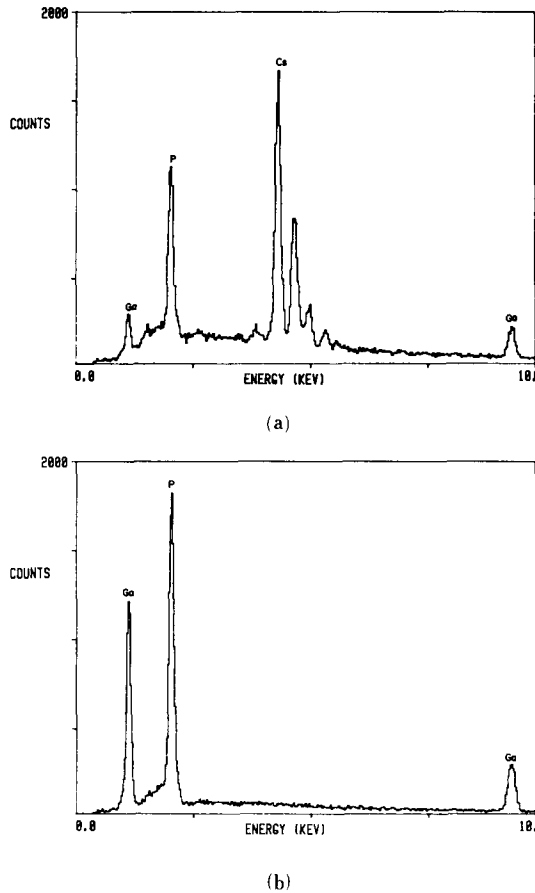


그림 8. p형 GaP 半導體 電極表面의 EDX 스펙트럼 (垂直軸 : 放出된 X-線 光子數, 水平軸 : 放出된 X-線 光子에너지) (a) 蒸溜水 洗激前 (b) 蒸溜水 洗激後.

Fig. 8. Spectrum of EDX of the p-GaP semiconductor electrode surface (vertical axis : number of emitted X-ray photons, horizontal axis : energy of emitted X-ray photons). (a) Before washing with distilled water (b) after washing with distilled water.

光子吸收와 光生成, 光分解, 光電解 現象 등이 同時에 進行되므로 매우 어렵다.

感謝의 글

研究施設 및 測定裝備使用과 EDX 스펙트럼 분석을 하여준 미국 Princeton 大學校 化學科 教授 A. Bocarsly 博士, 生物學科 電子 顯微鏡室 測定技士 E. Lenk 부인, 그리고 研究支援을 하여준 韓國科學 財團에 깊은 感謝를 드린다.

- [1] J.H. Chun, J. Colloid Interface Sci., 113, 292, 1986.
- [2] J.H. Chun, J. Electrochem. Soc., 134, 3201, 1987.
- [3] J.H. Chun and A.B. Bocarsly, J. Electrochem. Soc., submitted, 1989.
- [4] A. Fujishima and K. Honda, Nature, 238, 37, 1972.
- [5] H.J. Clemens, J. Von Wienskowski, and W. Monch, Surf. Sci., 78, 648, 1978.
- [6] R.K. Willardson and A.C. Beer, Eds., "Semiconductors and Semimetals," Academic Press, New York, vol. 15, pp. 197-300, 1981.
- [7] S.R. Morrison, "The Chemical Physics of Surfaces," Plenum, New York, 1977.
- [8] R.J. Bickley, in "Chemical Physics of Solids and Their Surfaces," The Chemical Society, London, vol. 7, pp. 119-158, 1978.
- [9] Y.V. Pleskov and Y.Y. Gurevich, "Semiconductor Photoelectrochemistry," Plenum, New York, p. 113, 1986.
- [10] 金銀益, 千長鎬, 電子工學會 論文誌, 第 26 卷 第 9 號, 1989.
- [11] V.A. Myamlin and Y.V. Pleskov, "Electrochemistry of Semiconductor," Plenum, New York, pp. 259-267, 1967.
- [12] J.I. Pankove, "Optical Processes in Semiconductors," Prentice-Hall, pp. 87-88, 1971.
- [13] S.M. Park and M.E. Barber, J. Electroanal. Chem., 99, 67, 1979.
- [14] M. Tomkiewicz and J.M. Woodall, Science, 196, 990, 1977.
- [15] Y.V. Pleskov and Y.Y. Gurevich, "Semiconductor Photoelectrochemistry," Plenum, New York, p. 258-269, 1986.
- [16] H. Reich, W.W. Dunn, and A.J. Bard, J. Phys. Chem., 83, 2248 1979.
- [17] V.F. Kiselev and O.V. Krylov, "Electronic Phenomena in Adsorption and Catalysis on Semiconductors and Dielectrics," Springer Verlag, Heidelberg, pp. 165-182, 1987.
- [18] R.K. Willardson and A.C. Beer, Eds., "Semiconductors and Semimetals," Academic Press, New York, vol. 3, pp. 499-543, 1967.

著 者 紹 介

千 長 鎬 (正會員) 第 25 卷 第 10 號 參照
현재 광운대학교 전자공학
과 부교수